

FIG. 1

FIG. 2

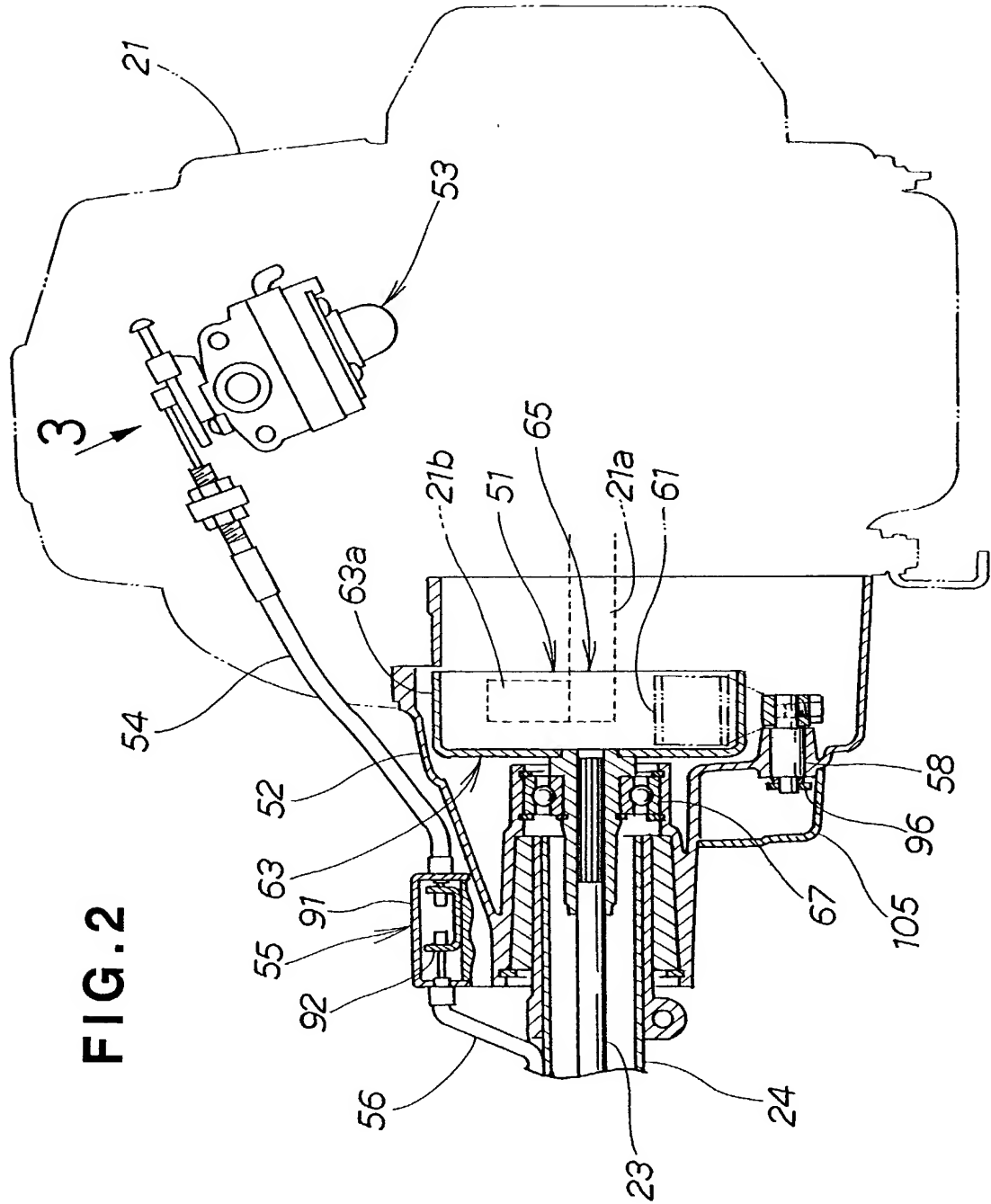


FIG. 3

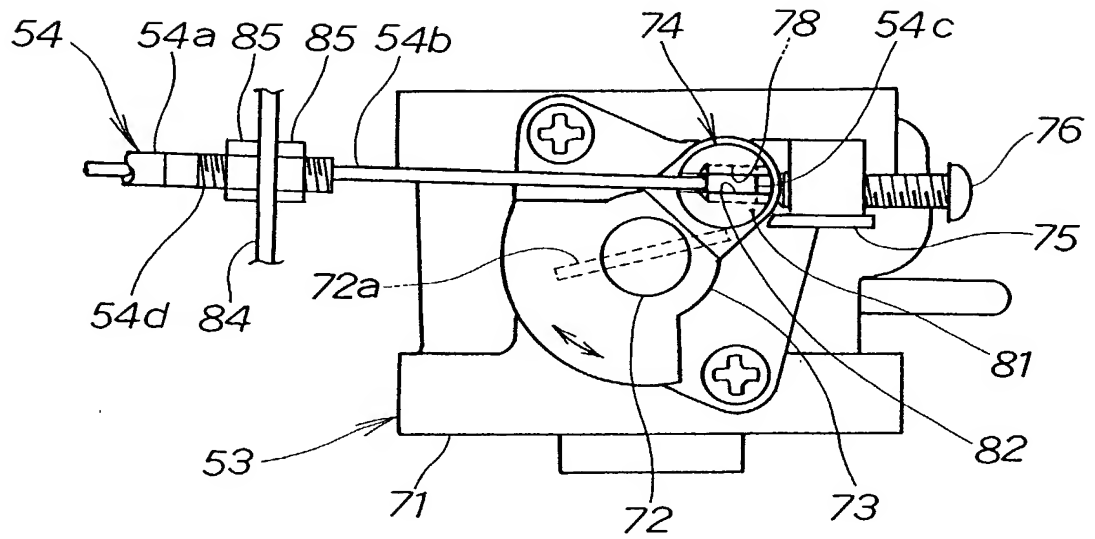


FIG. 4

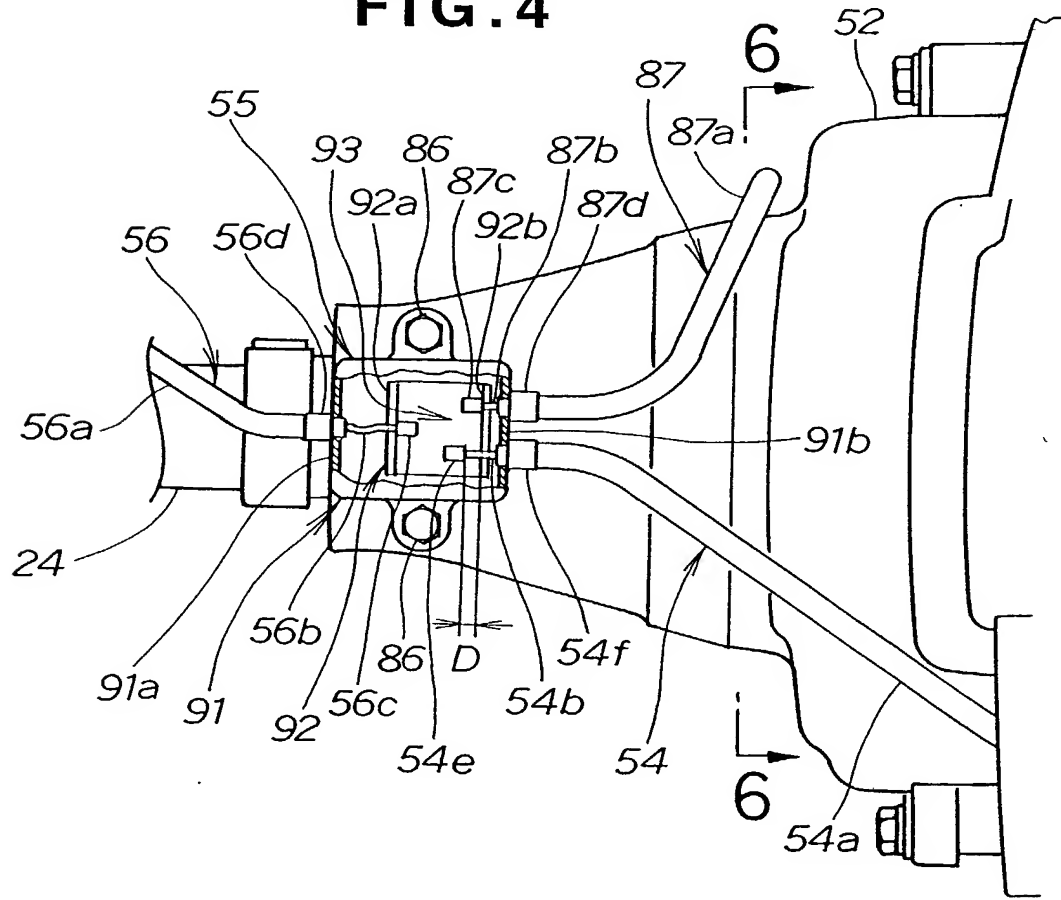


FIG. 5A

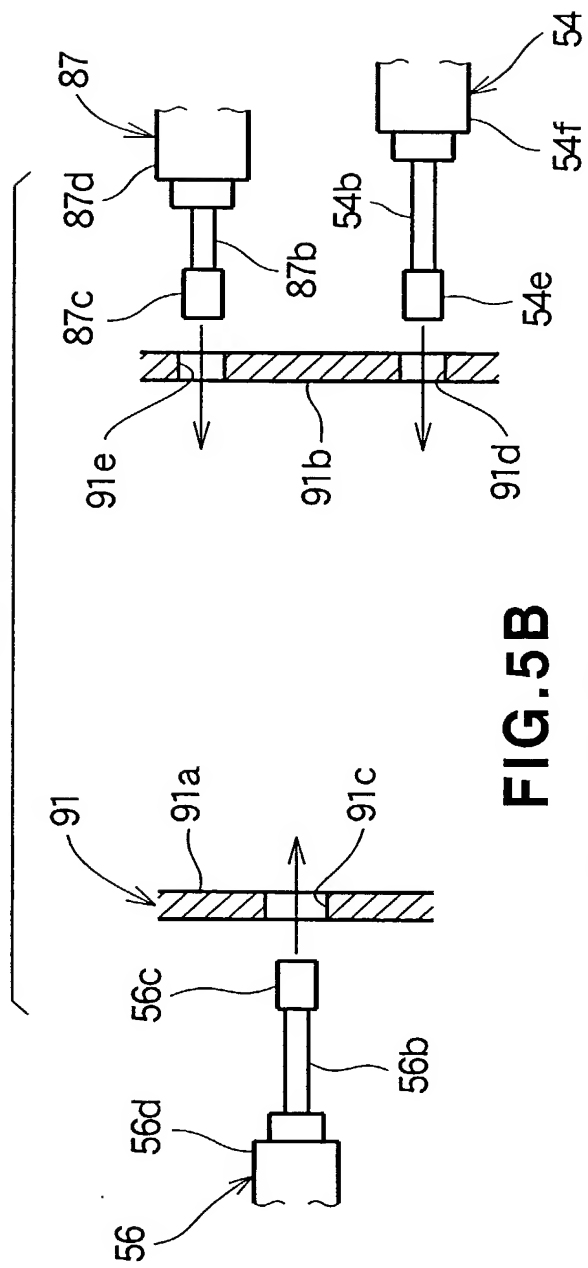


FIG. 5B

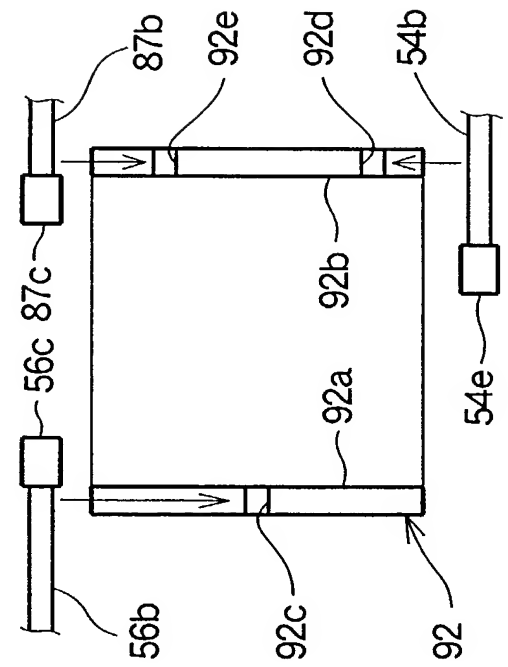




FIG. 7

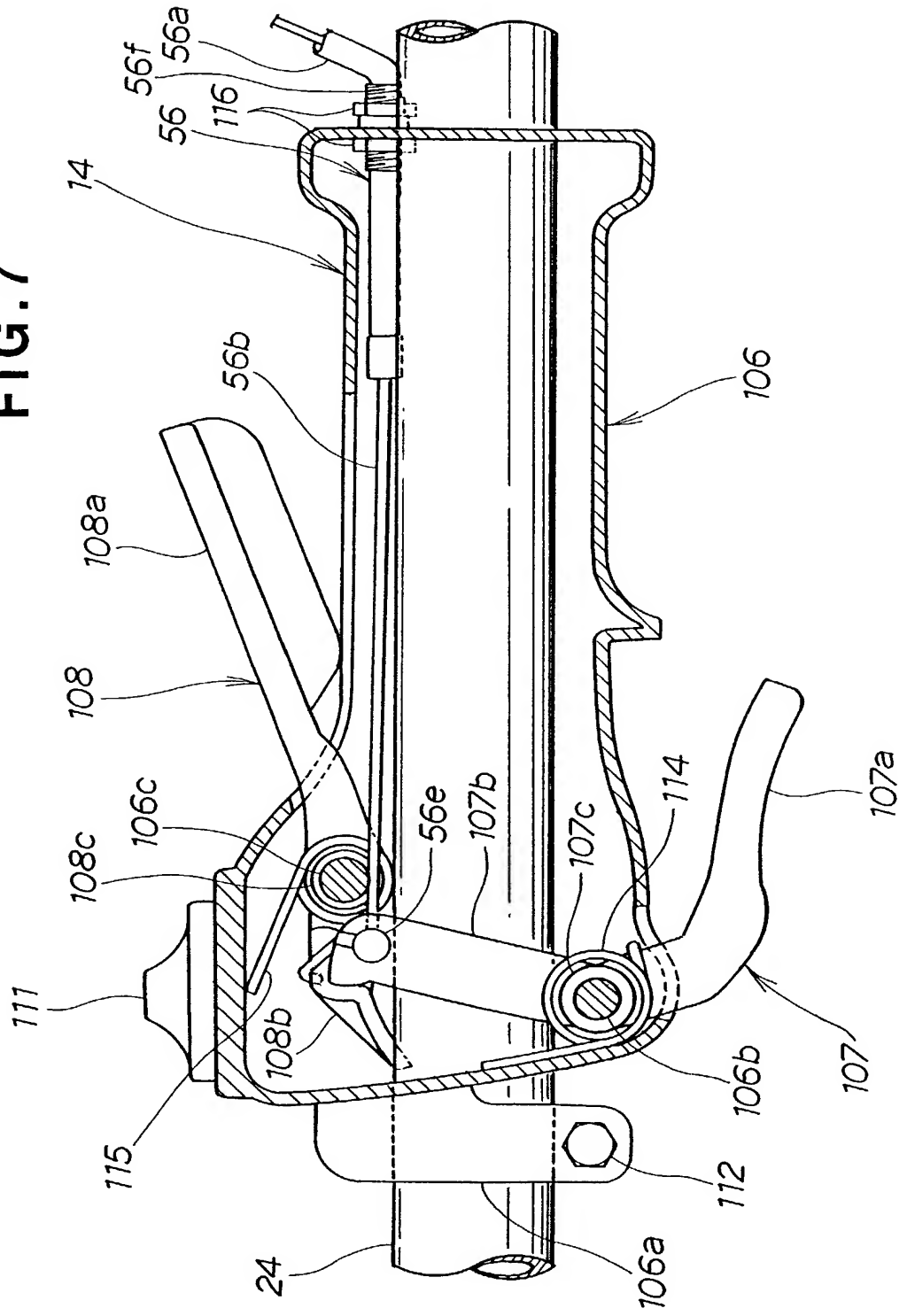


FIG. 8A

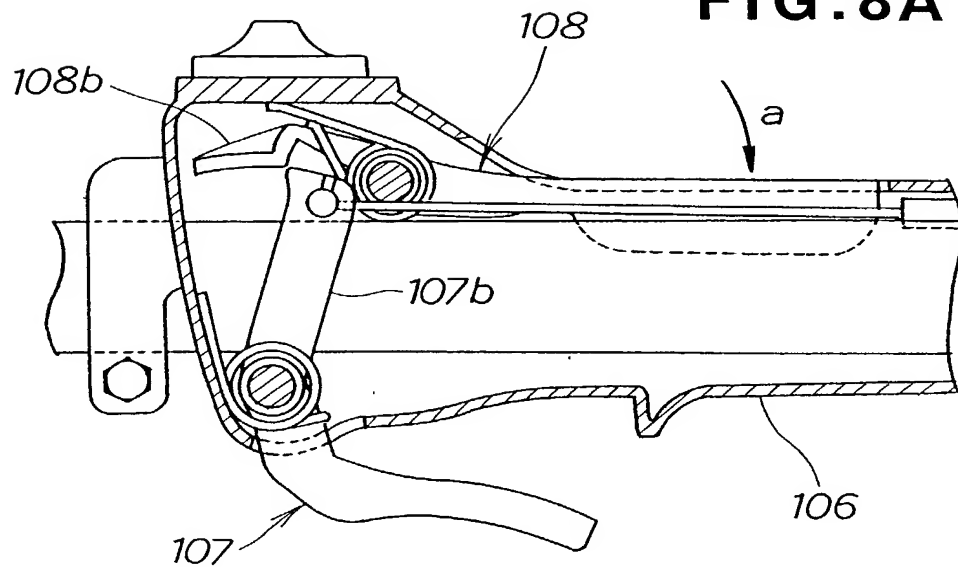


FIG. 8B

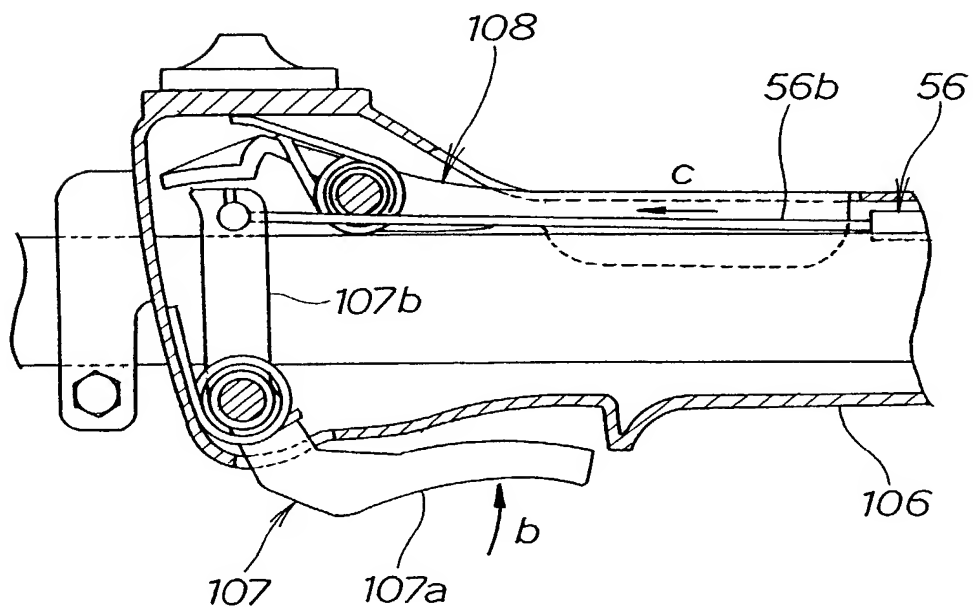


FIG. 9

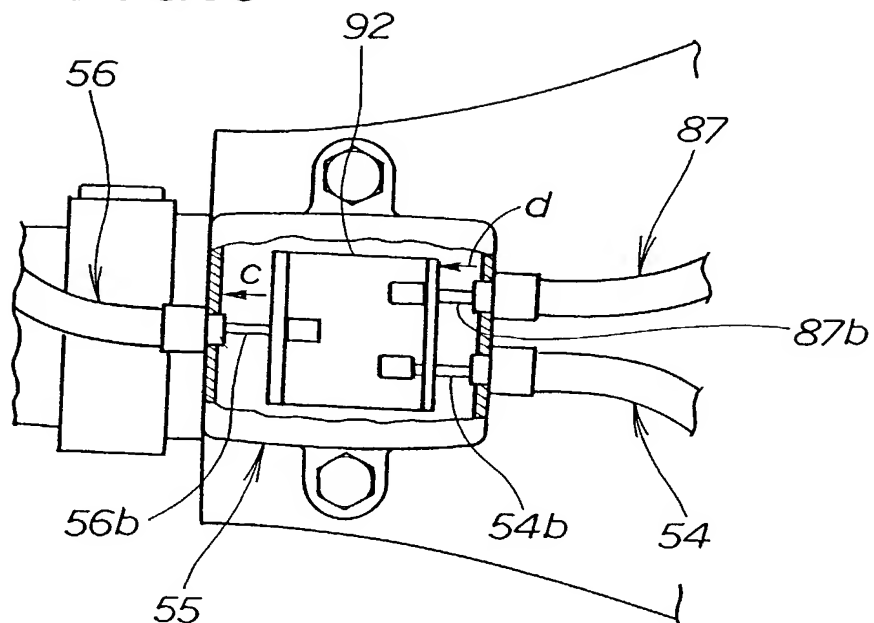


FIG. 10

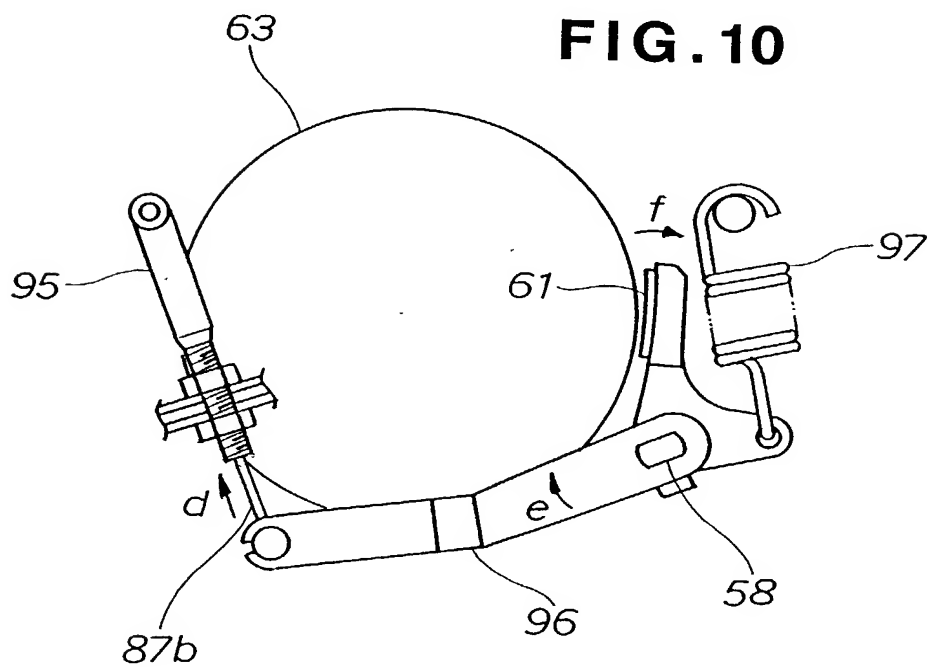


FIG.11

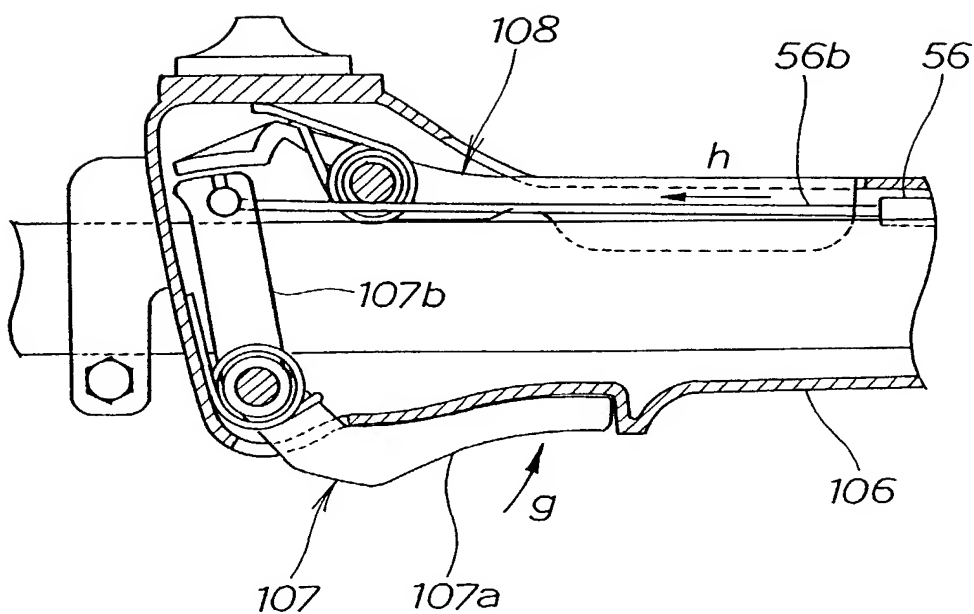


FIG.12

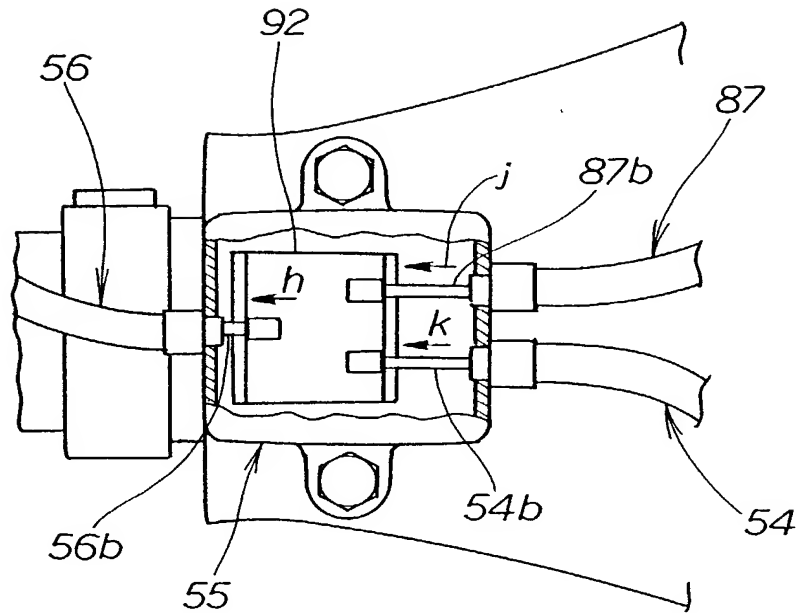


FIG.13

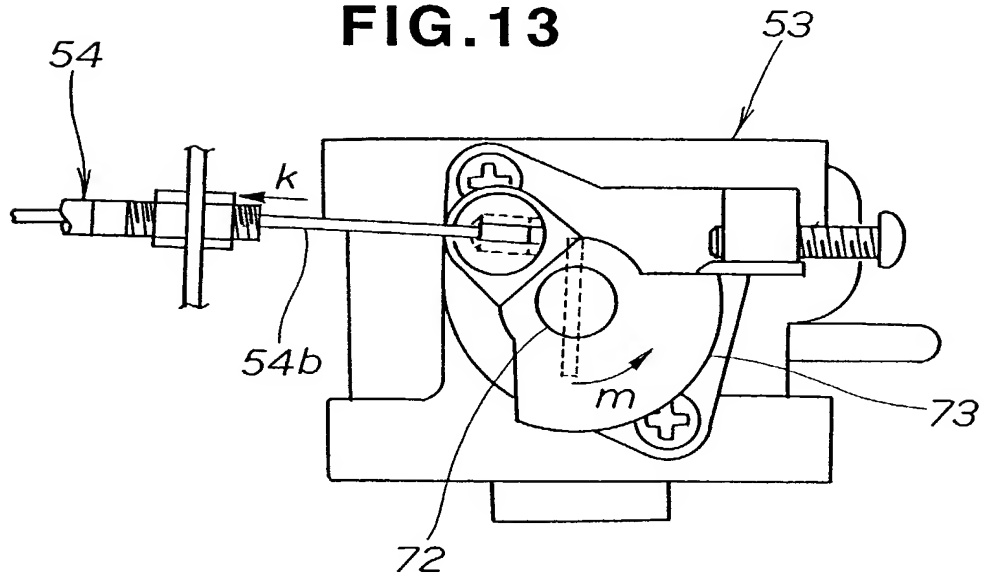


FIG.14

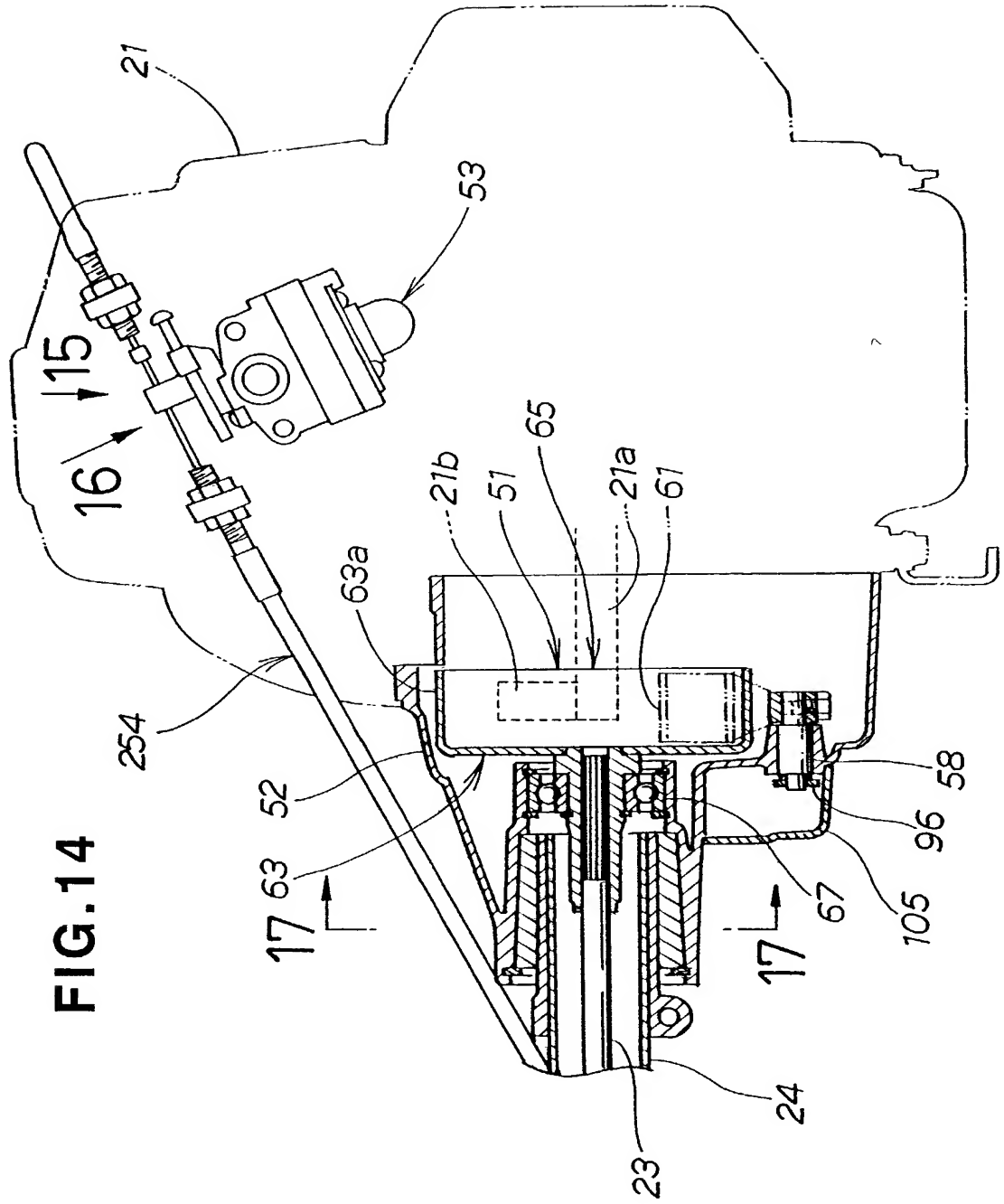


FIG. 15

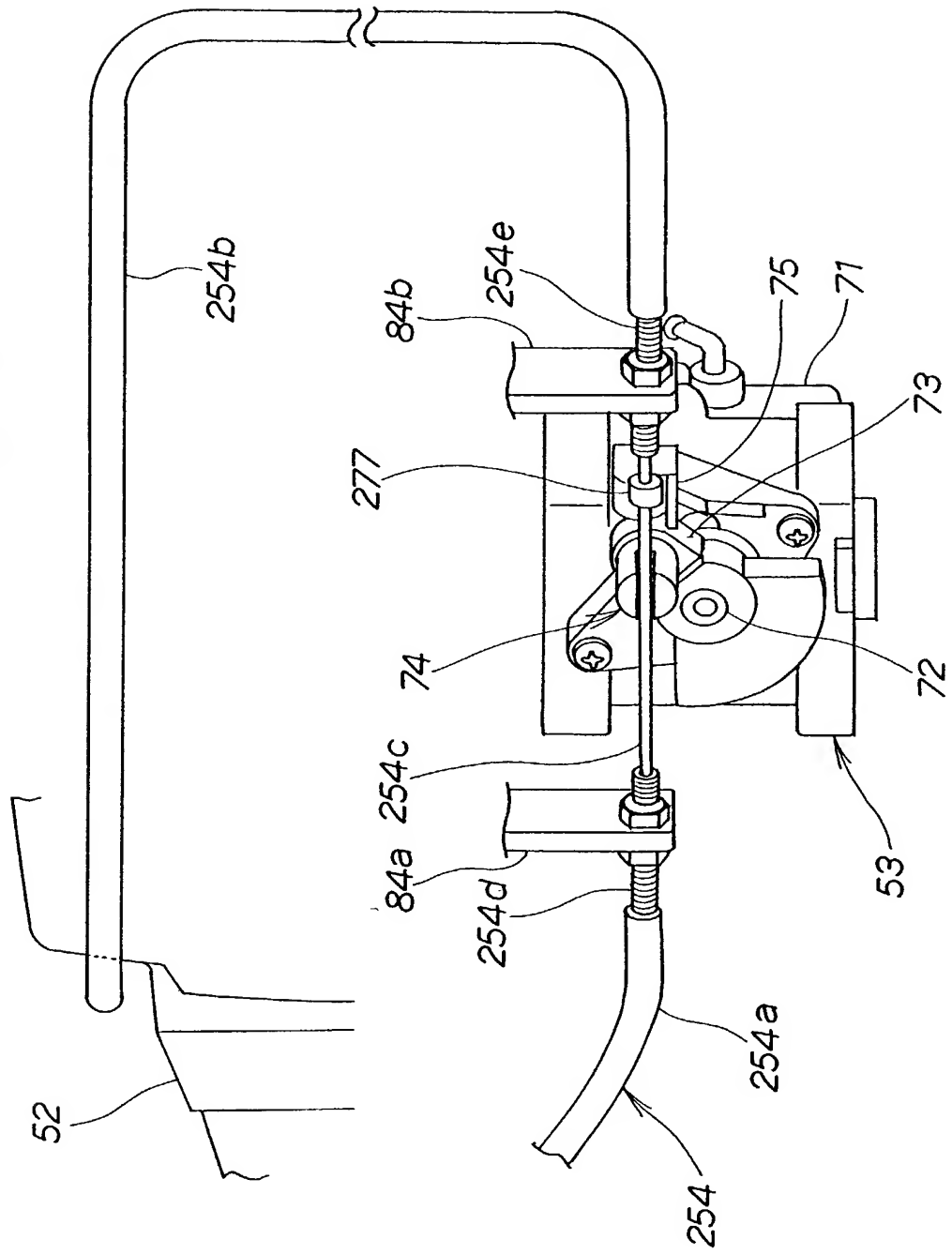
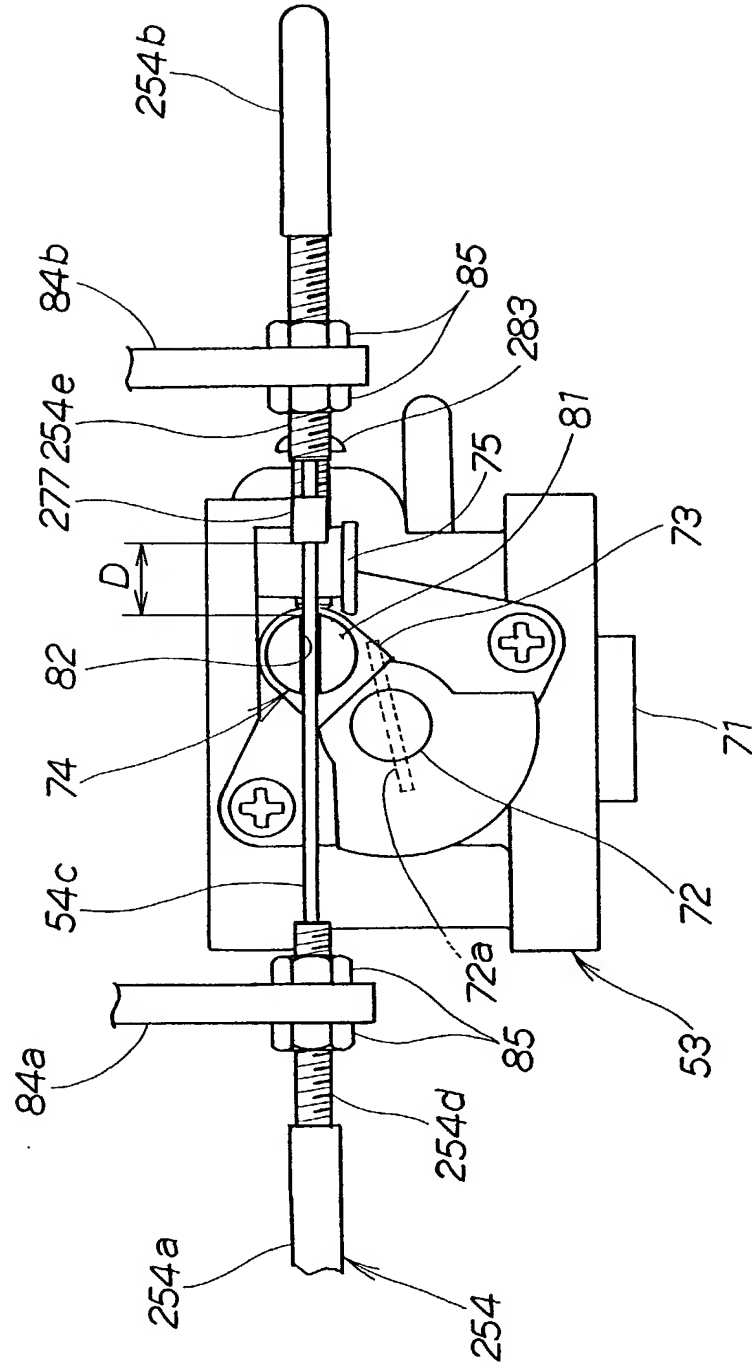


FIG. 16



THE JOURNAL OF THE

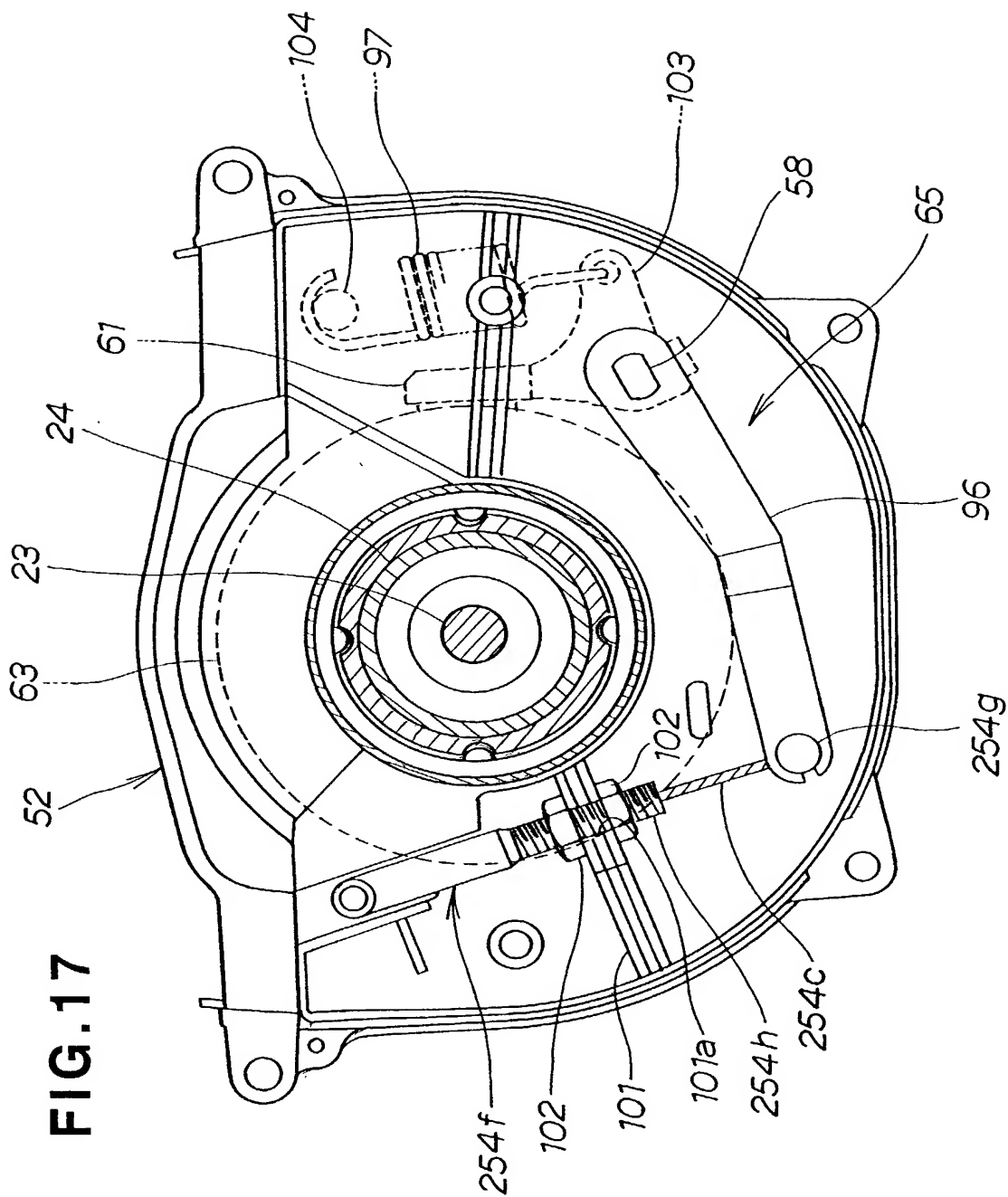


FIG.18A

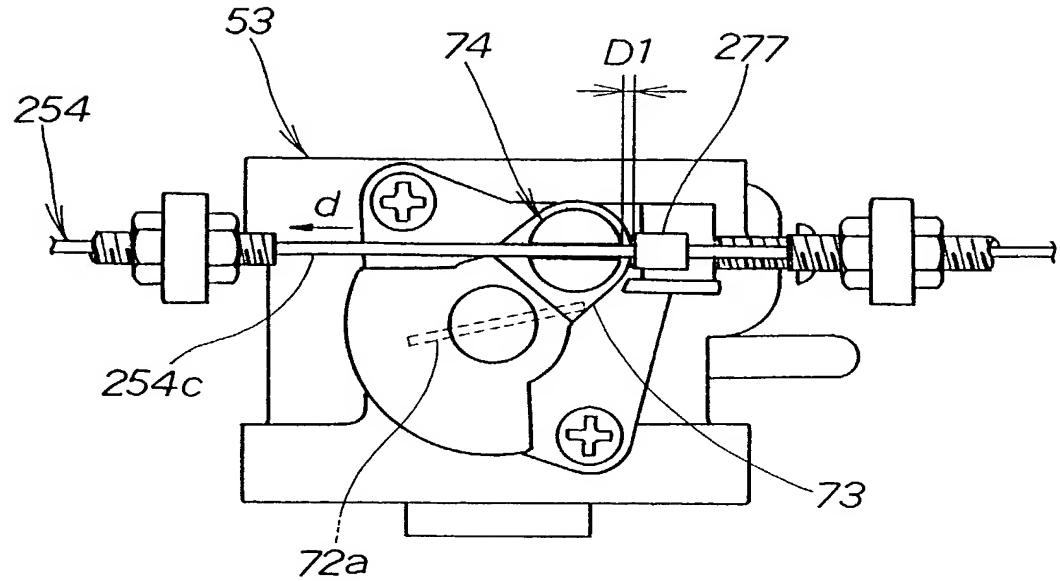


FIG.18B

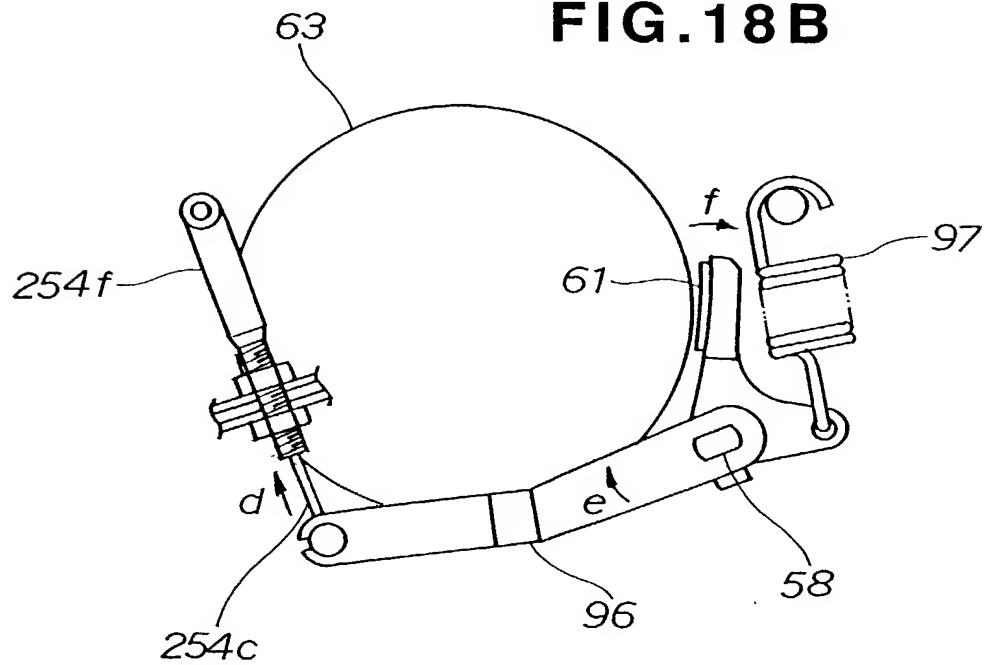
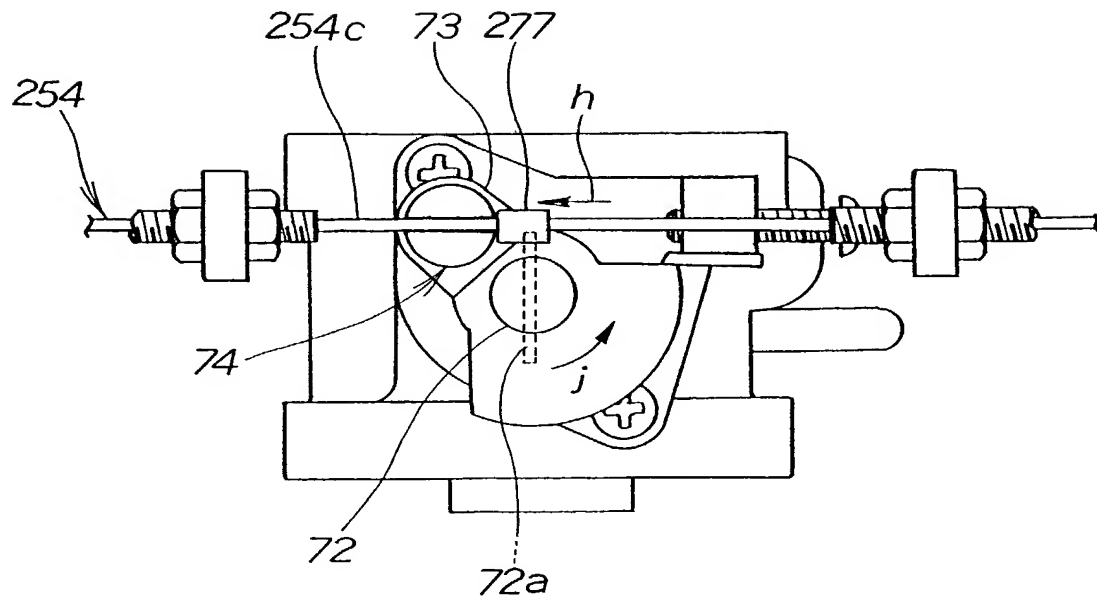


FIG.19



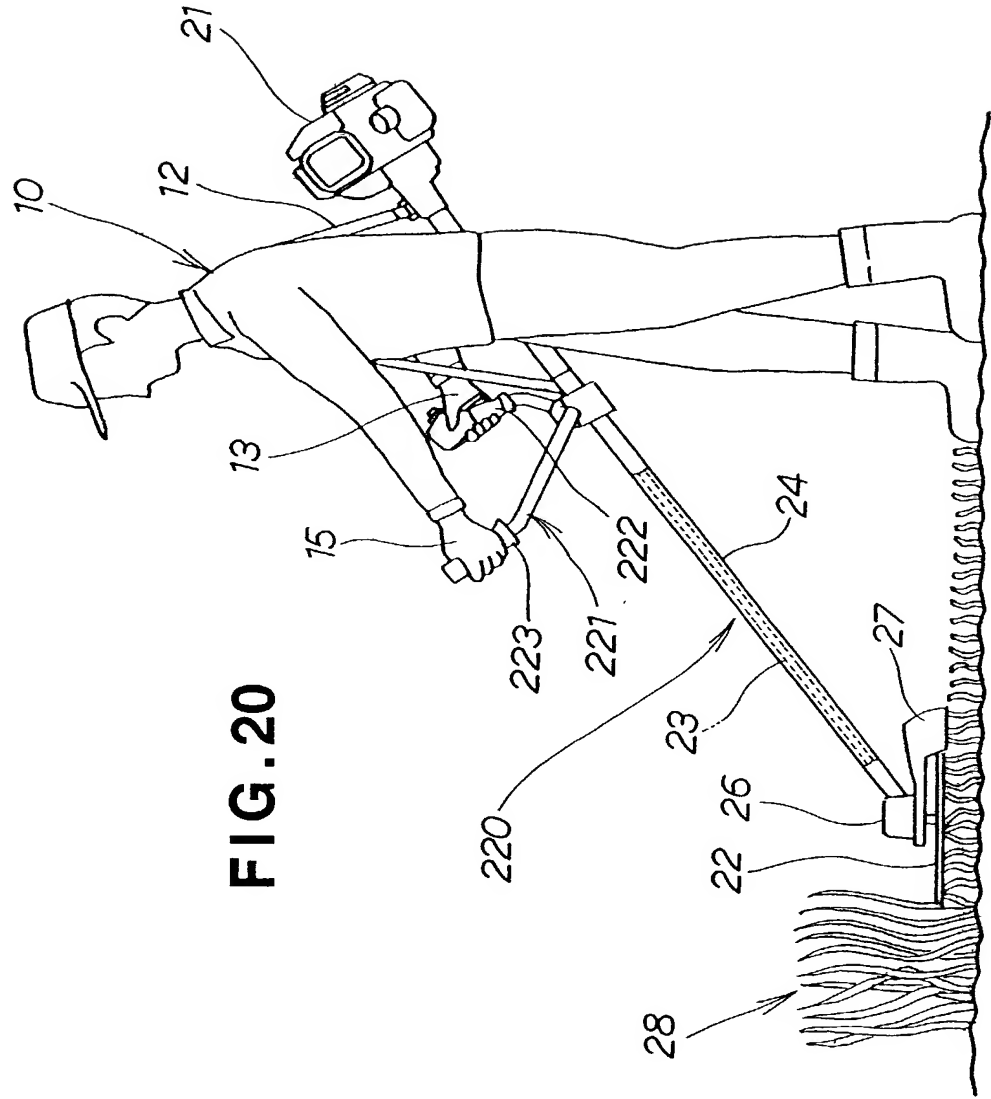
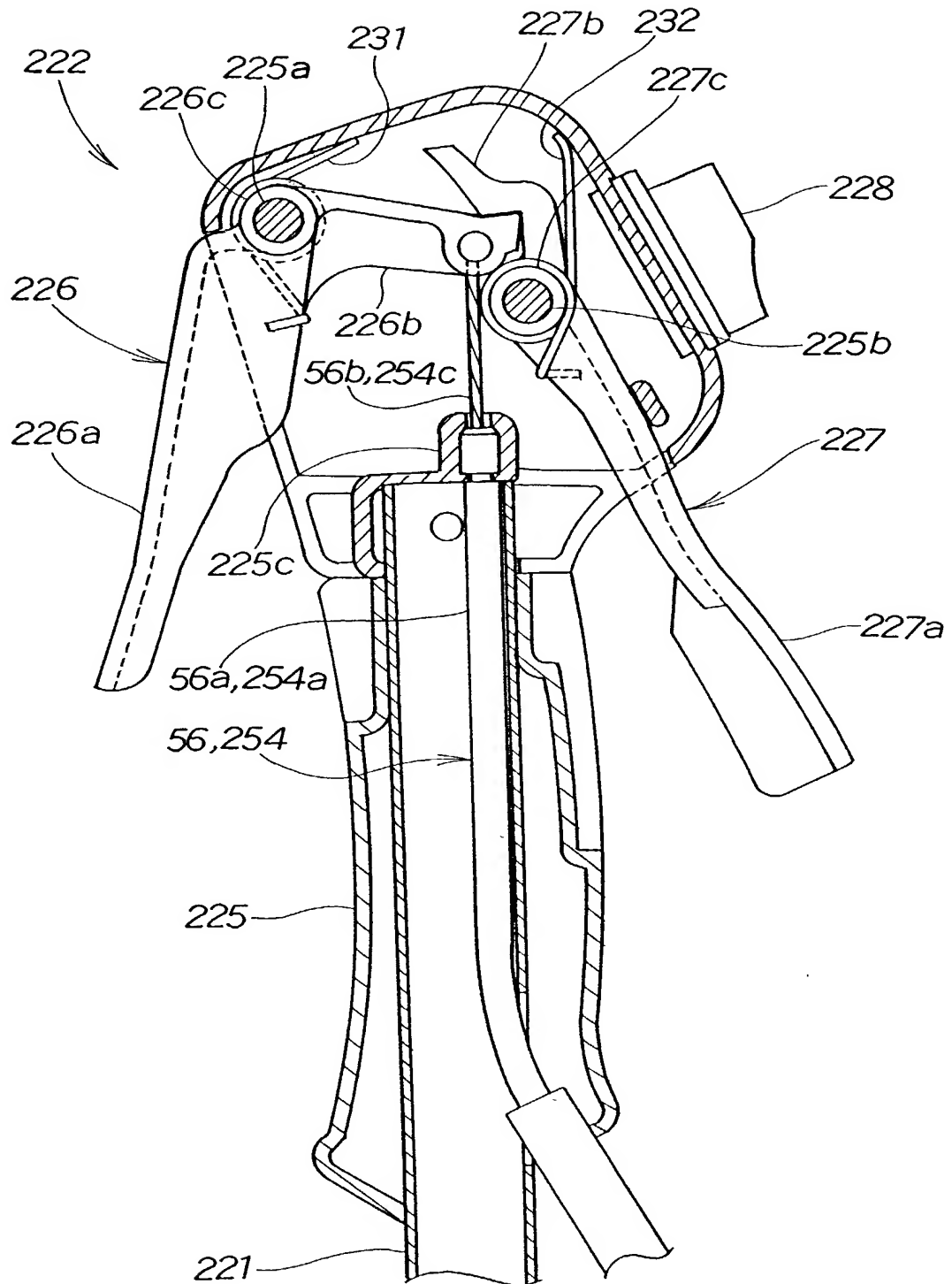


FIG. 20

FIG. 21



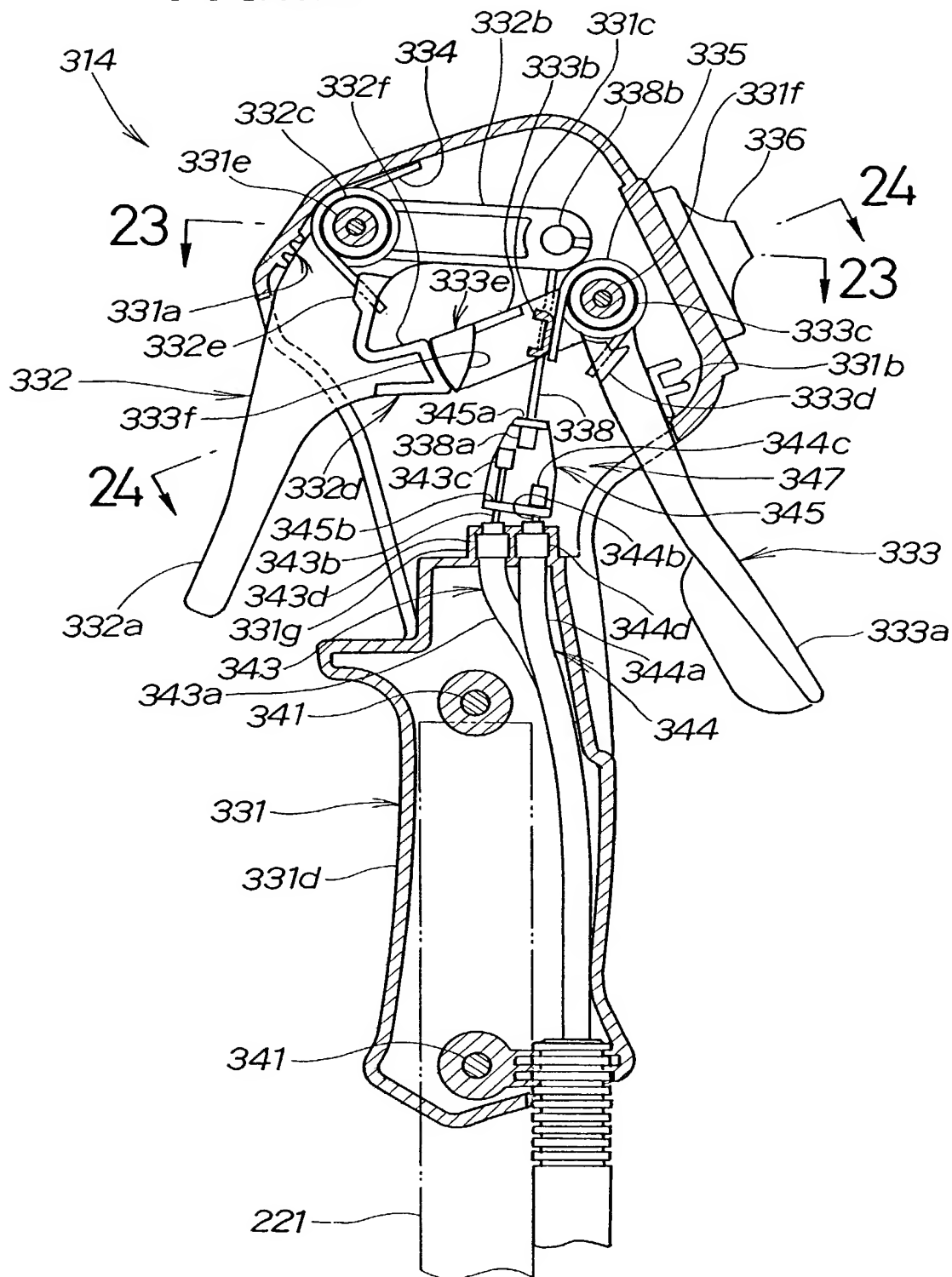


FIG.23

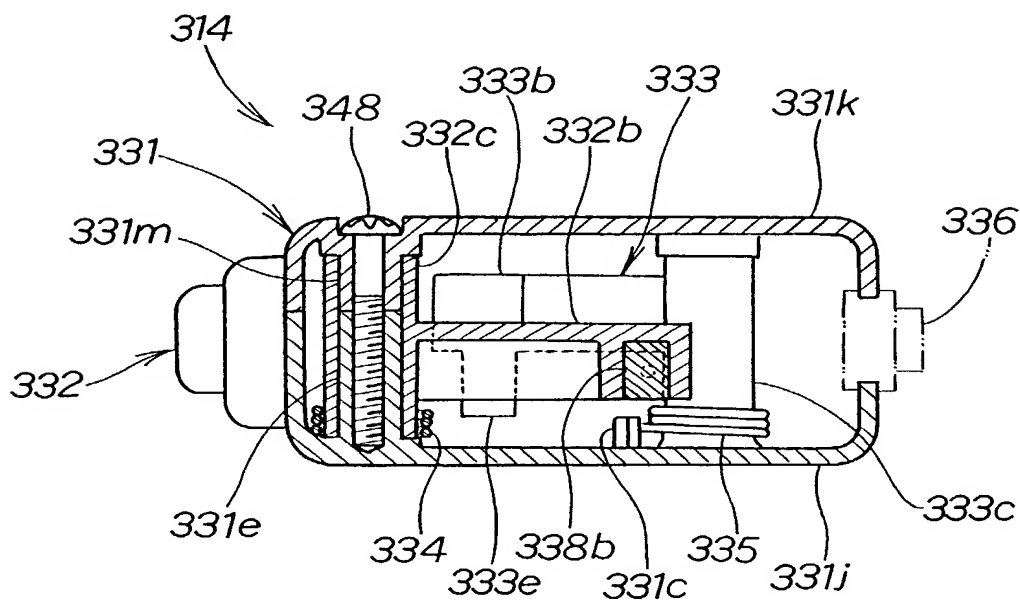


FIG.24

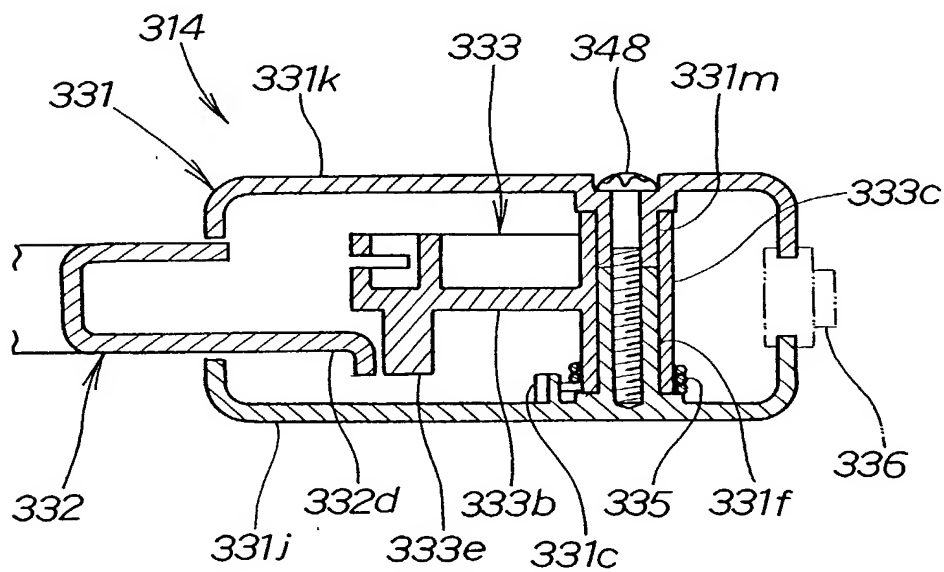


FIG.25

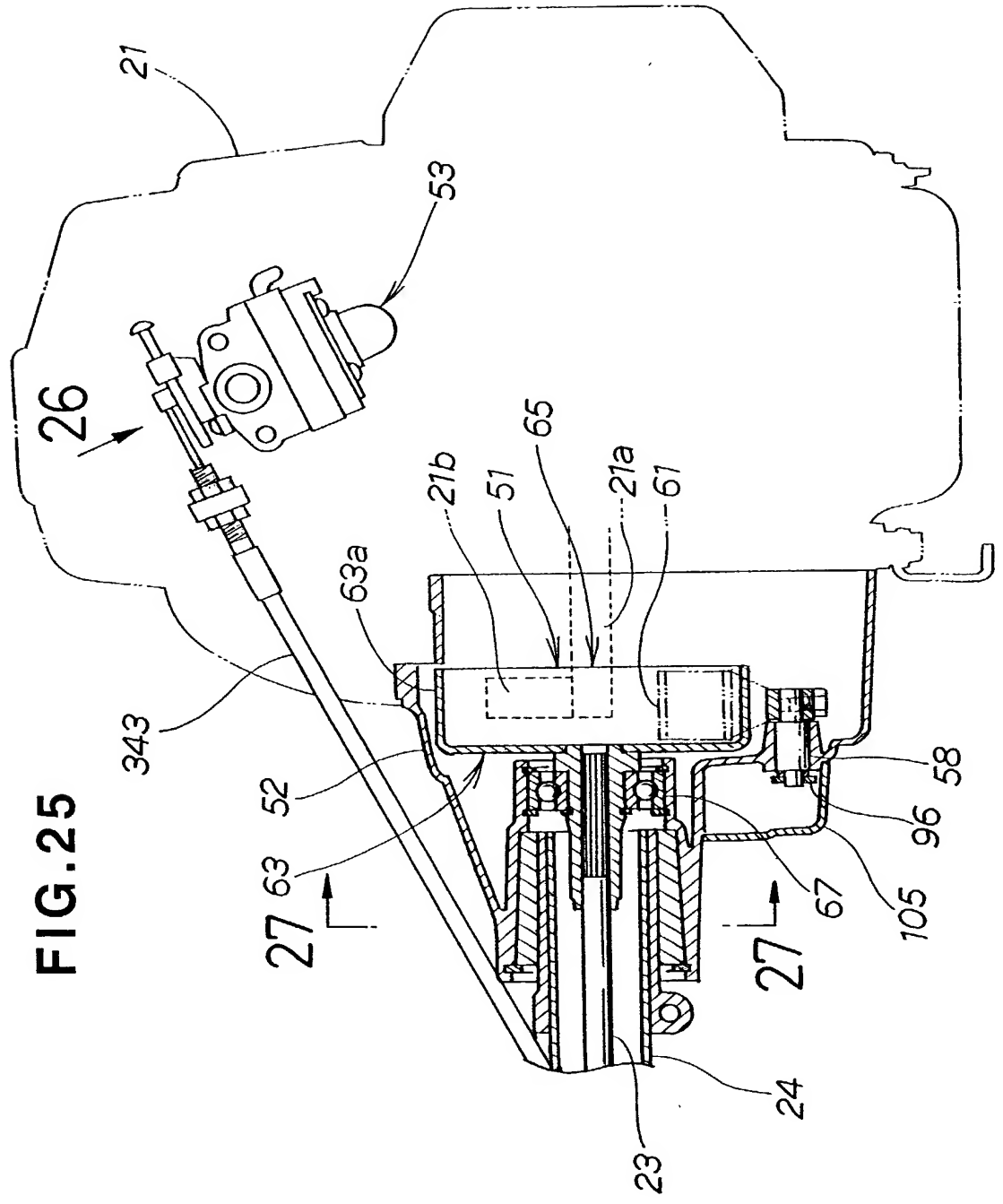


FIG.26

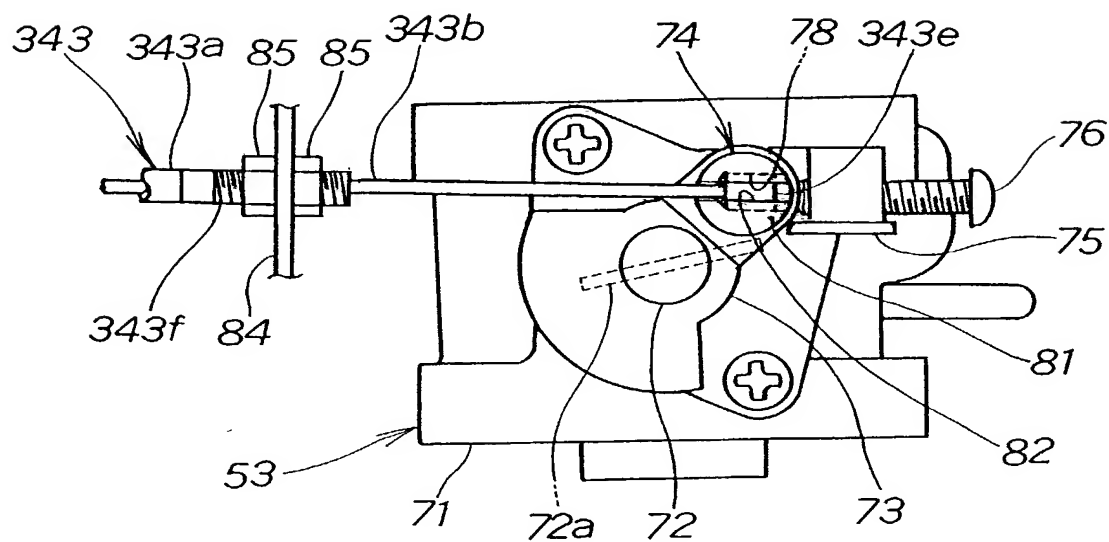
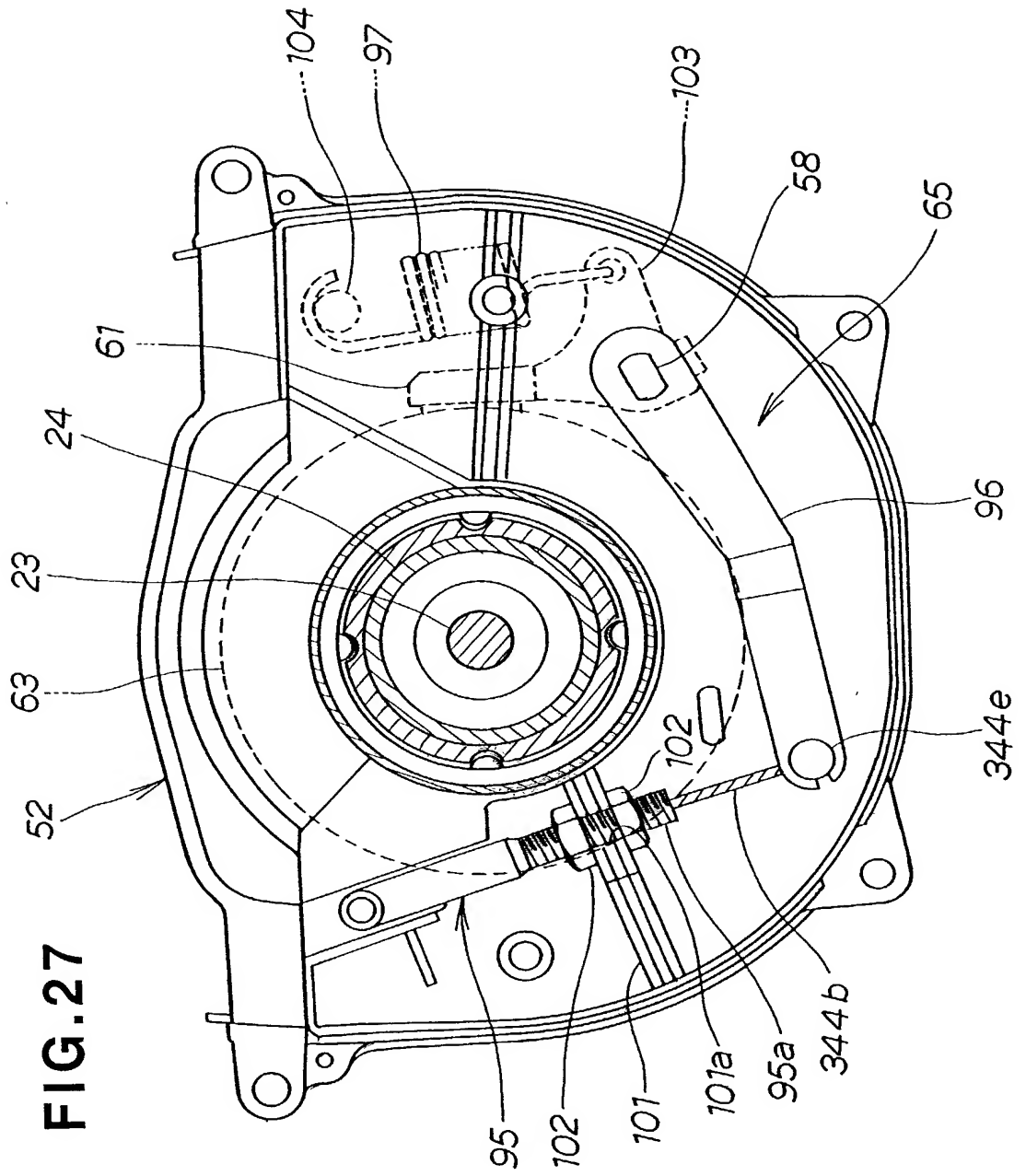


FIG.27



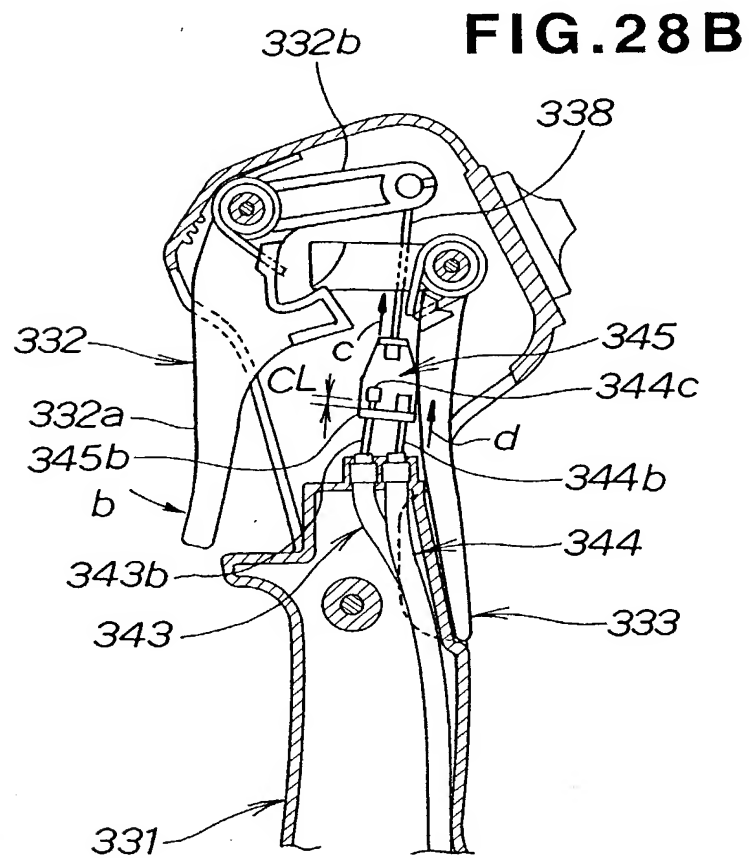
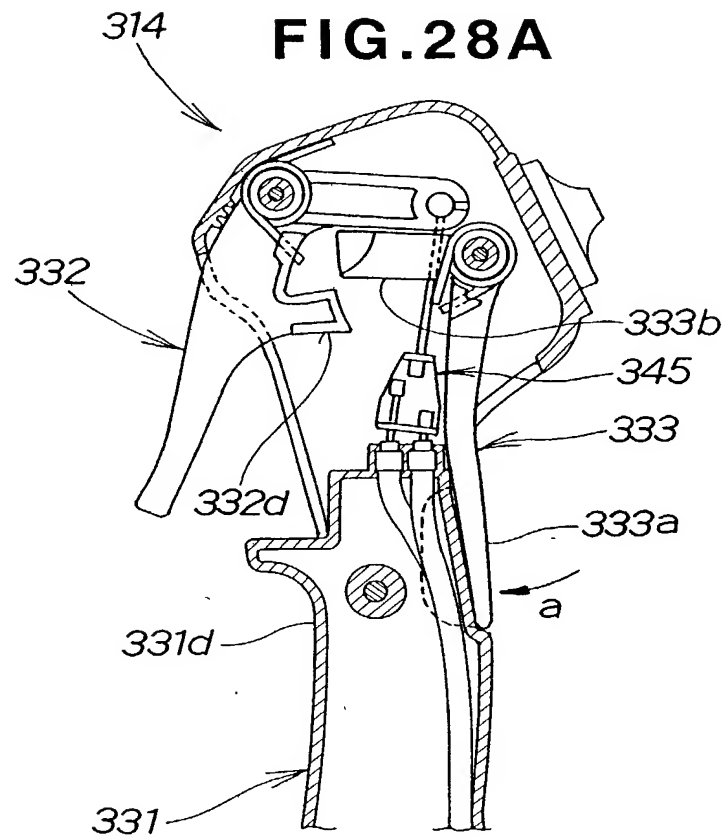


FIG.29

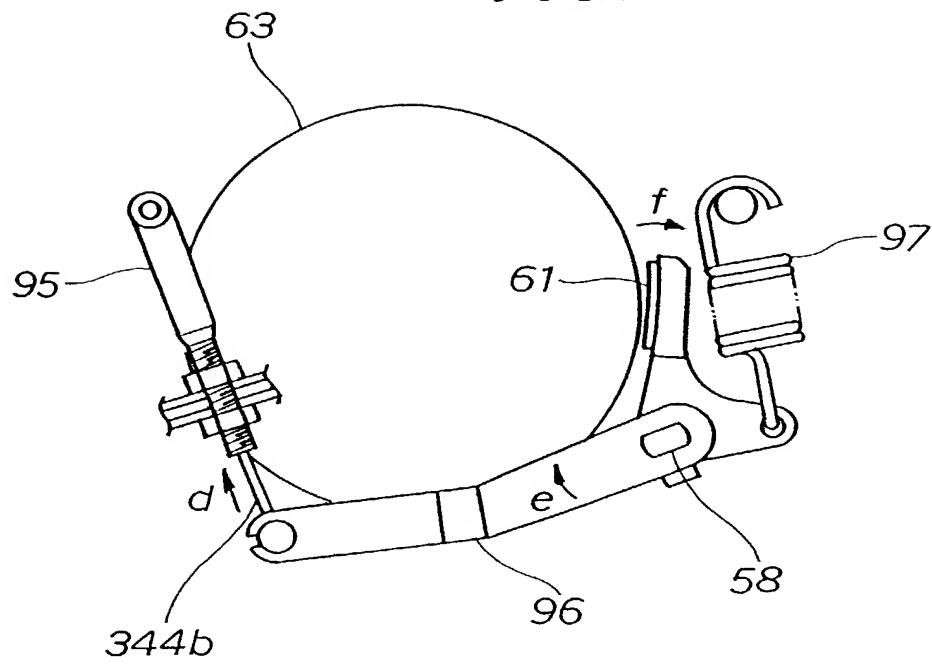


FIG.30A

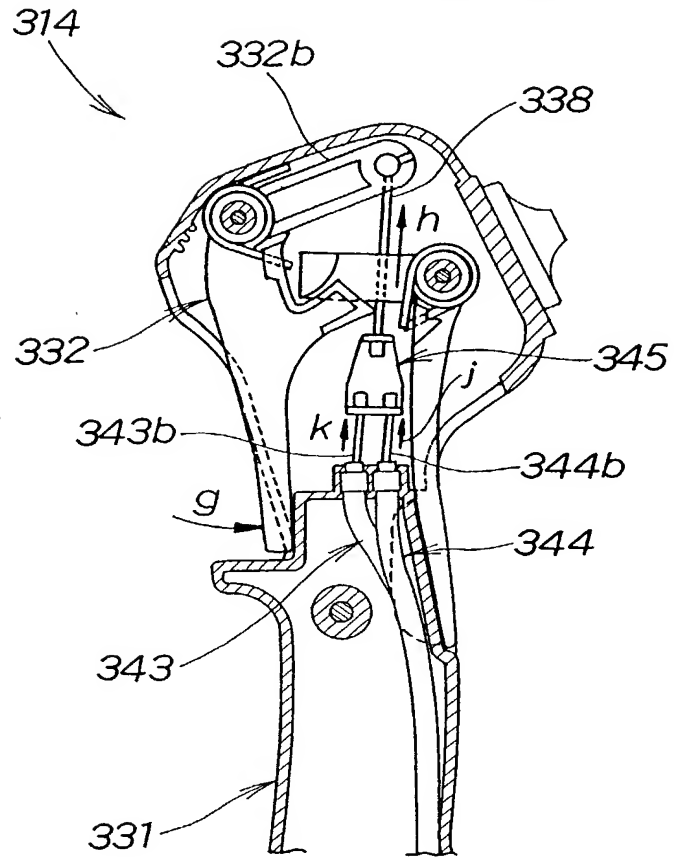


FIG.30B

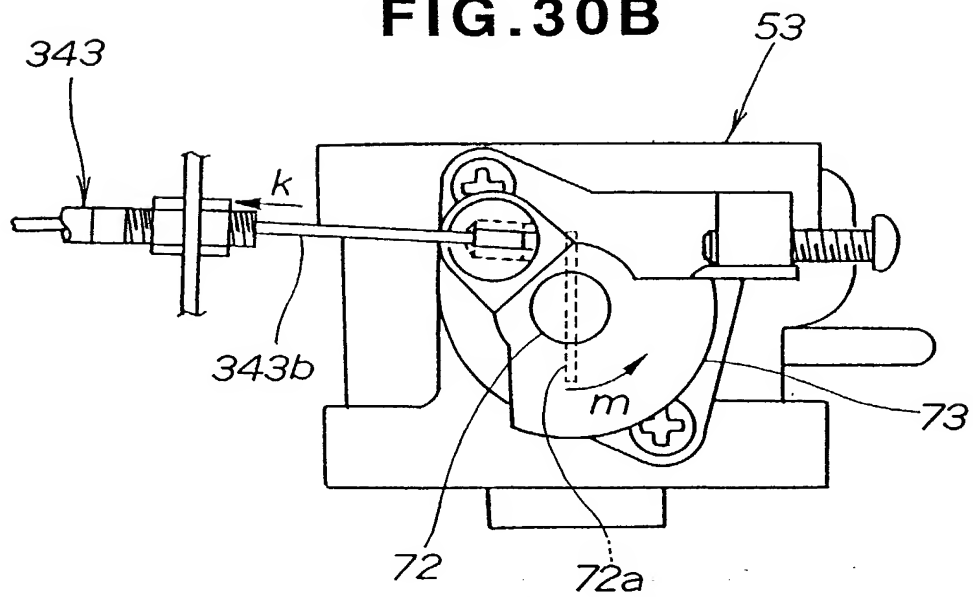


FIG. 31

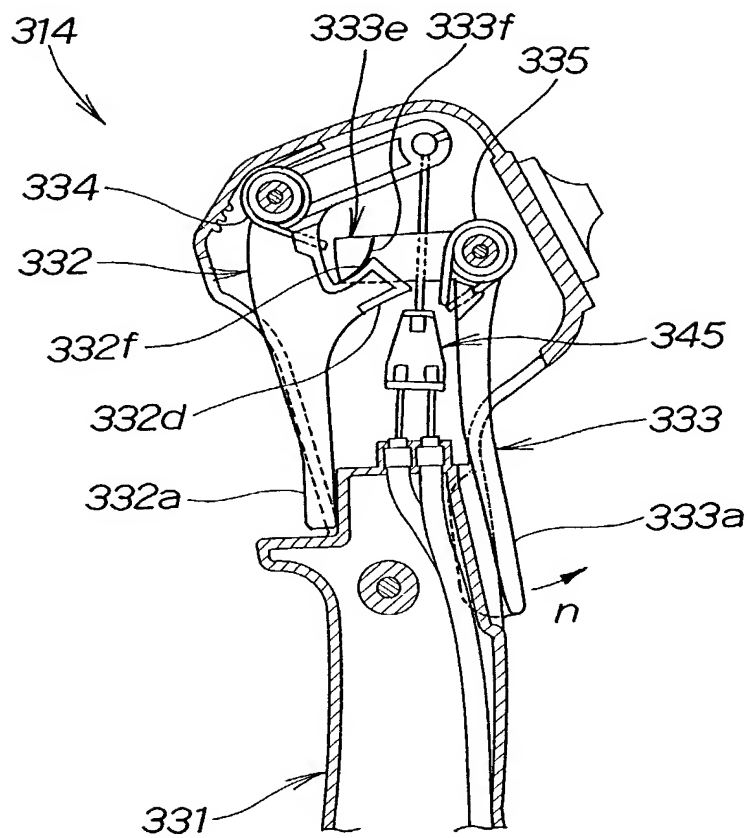


FIG. 32

